

Дифракція світла

Дифракція пов'язана з відхиленням від прямих. розповсюдження світл. хвиль (порівняно з напрямом, передбаченим законом геом. оптики) та з просторовим перерозподілом інтенс. світла під впливом перешкод та неоднорідностей на їх шляху.

А. Зоммерфельд: „Дифр. - будь-яке відхилення у розповсюдженні світла від прямолінійного, не пов'язане з відбиттям або заломленням.“

Дифракція - прояв хвильової природи світла.

Тришльді (1665 р.) описав дифр., Гюйгенс (1690 р.)

Френель (1818 р.), Кірхгоф (1882 р.)

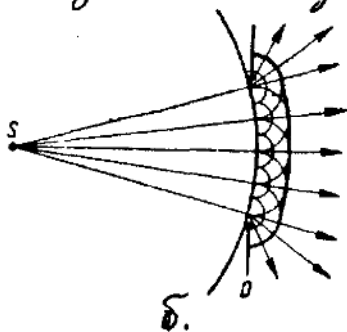
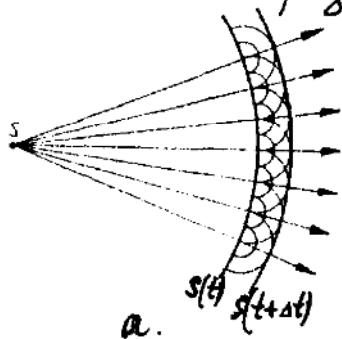
Принцип Гюйгенса: кожну т. хвил. фронту можна вважати центром вторинних елементарних світлових хвиль.

Хвил. фронт у будь-який момент часу визначається як огинаюча поверхня цих элем. вторинних хвиль.

Це геом. магад побудови хвильового фронту.

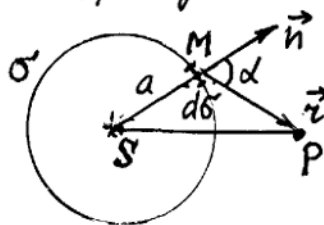
В. Френель доповнив принцип Гюйг.: вторинні хвилі між собою інтерферують. Вони когерентні між собою оскільки їх фази визначаються збудженням, яке

зумовлене дією одного первинного джерела.



Дифракційний інтеграл Френеля. (Математичне формулювання принципу Гюйгенса-Френеля)

Згідно до Френеля кожний елемент поверхні хвильового фронту σ випромінює вторинну хвилю.



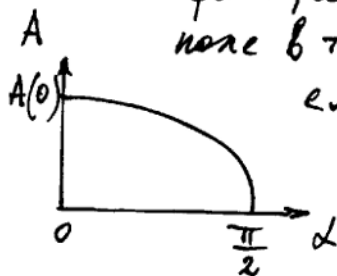
Хвильове поле в т. Р (точка спостереж.) являє собою суперпозицію вторинних хвиль і визначається інтегралом (1)

$$\text{Інтеграл (1)} \quad E(P) = \iint_{\sigma} \frac{E_0 e^{-ika}}{a} \cdot A(\alpha) \cdot \frac{1}{r} e^{-ikr} d\sigma$$

де $E(P)$ та $E(M)$ - комплексні амплітуди поля

$k = \frac{2\pi}{\lambda} = \frac{\omega}{c}$. Множник $\frac{e^{-ikr}}{r}$ описує розходіння елементарної вторинної сферичної хвилі.

$A(\alpha)$ - "коэф. нахилу", змінюється від 1 до 0 при зміні α від 0 до $\pi/2$. Враховує той факт, що внесок елемента $d\sigma$ в результуюче поле в т. Р залежить від орієнтації цього елемента поверхні відносно напрямку на т. Р.



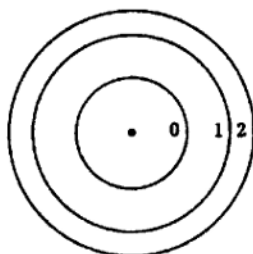
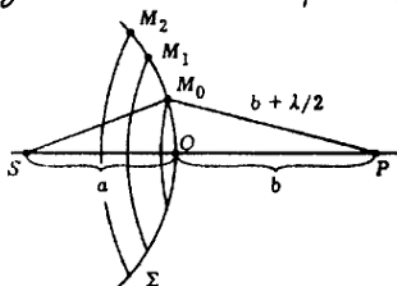
$$A(0) = 1 ; \quad A\left(\frac{\pi}{2}\right) = 0$$

Інтеграл враховує фази вторинних хвиль, які приходять в т. Р від різних елементів поверхні σ . Так враховується інтерференція вторинних хвиль.

$$E(P) = \iint_{\sigma} E(M) \cdot A(\alpha) \cdot \frac{1}{r} e^{-i(kr - \omega t + \varphi_0)} \cdot d\sigma$$

Зони Френеля

Оберемо на поверхні Σ , яка в даному випадку обов'язково повинна бути сферичною, кільцеві зони так, щоб відстань від гра-

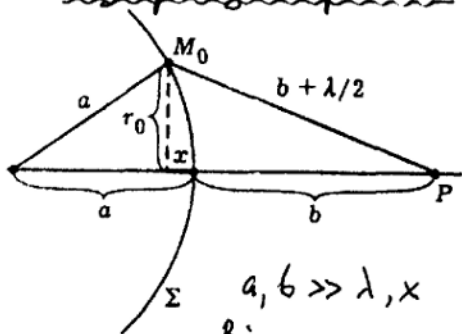


відстань від гра-
ниць зони до т.
спостереження P
відрізнялись
на $\frac{\lambda}{2}$. Край
зон: M_0, M_1, M_2, \dots

$$\begin{cases} M_0P = OP + \frac{\lambda}{2} \\ M_1P = M_0P + \frac{\lambda}{2} \\ \dots \\ M_nP = M_{n-1}P + \frac{\lambda}{2} \end{cases}$$

т. О - центр нульової зони Фр.
Кожну зону Фр. розглядаємо, як джерело вторинних хвиль з визначеною фазою. Дві сусідні зони Фр. діють як джерела, які коливаються у протифазі.

Розміри зон Френеля:



Положення країв зон Фр. залежить від відстані до т. P

$$r_0^2 = a^2 - (a-x)^2$$

$$r_0^2 = \left(b + \frac{\lambda}{2}\right)^2 - (b+x)^2$$

$$2ax = b\lambda - 2bx + \left(\frac{\lambda}{2}\right)^2$$

Відкидаємо члени $\sim x^2$ та λ^2

$$x = \frac{b \cdot \lambda}{2(a+b)}$$

$$\text{та } r_0^2 \approx 2ax \Rightarrow r_0 = \sqrt{\frac{\lambda \cdot a \cdot b}{a+b}}$$

Аналогічно знаходимо:

$$n = 0, 1, 2, \dots$$

$$r_n = \sqrt{(n+1) \frac{\lambda \cdot a \cdot b}{a+b}}$$

Побудова дифракційних картин графічним способом.

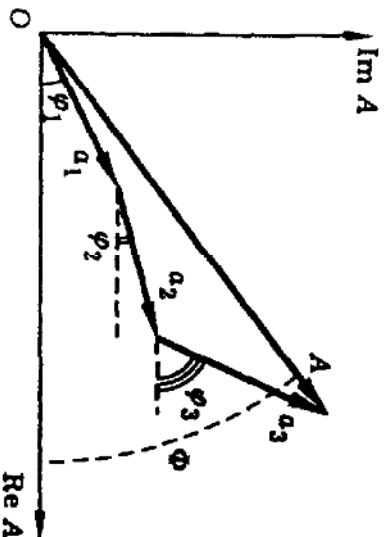
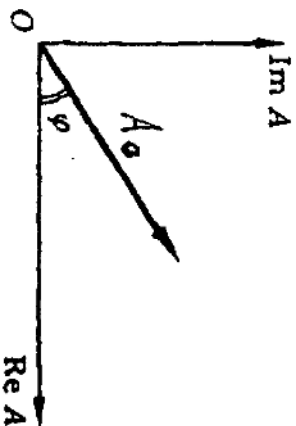
(Метод сірпалі Френеля)

Векторна діаграма. Гармонічні коливання з амплітудою A_0 та фазою φ

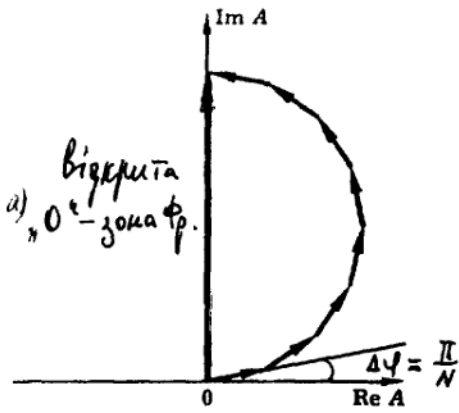
можна представити у вигляді комплексного числа $A = A_0 \exp(i\varphi)$ або вектором на площині змінних $\text{Re } A$ та $\text{Im } A$ (довжина вектора – A_0 , кут нахилу вектора до осі $\text{Re } A$ – φ).

$$A = \text{Re } A + i \cdot \text{Im } A$$

$$A = A_0 e^{i\varphi}$$



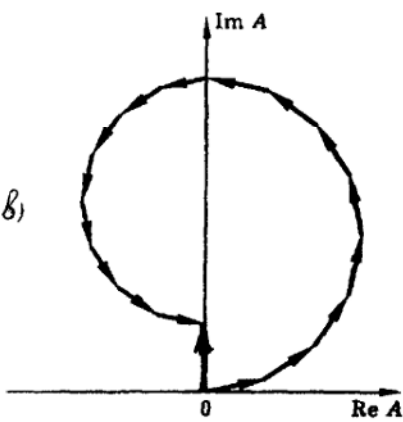
Як додати декілька гармонічних коливань частоти ω з довільними амплітудами та фазами:



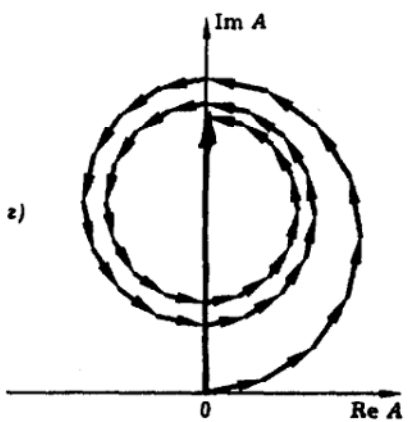
а) Відкрита "0"-зона Фр.



б) Відкрита тільки I зона Френеля при закритті "0" зони Фр.

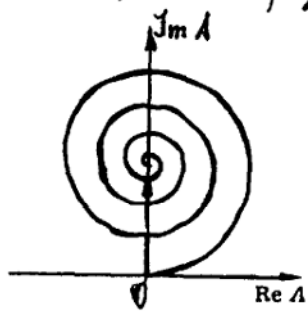


в) Відкриті "0" та "I" зони Фр.

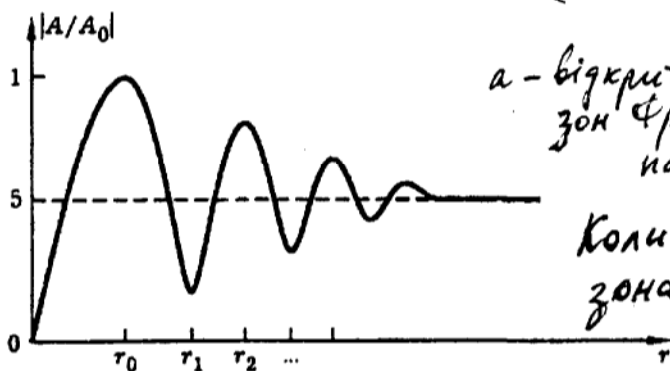
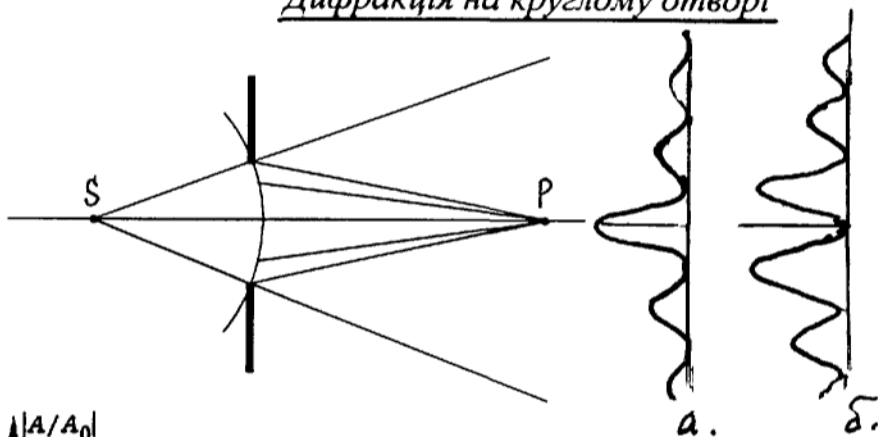


г) Відкрито 5 зон Фр.

Якщо кожну зону Фр. поділити на ∞ кількості підзон ($N \rightarrow \infty$), то ламана крива перетворюється в дугу і кожній зоні Фр. відповідає півобертка спіралі

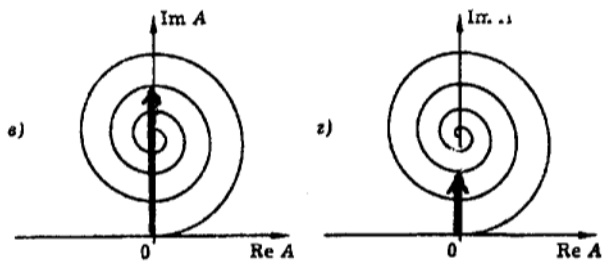
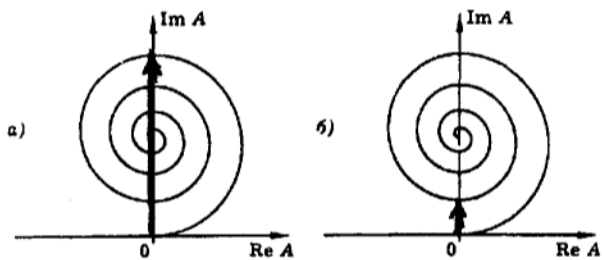


Дифракція на круглому отворі

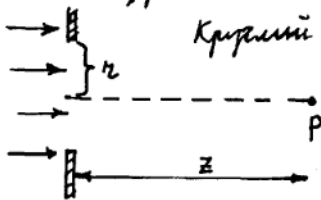


а - відкрита непарна кількість зон Френеля; б - відкрита парна кількість зон Фр.

Коли відкрита лише "0"-зона Фр., то амплітуда в т. Р в 2 рази, а інтенсивність в 4 рази більша за випадок, коли відкриті всі зони Фр. (екран відсутній).



Дифракція плоскої хвилі



Круглий отвір діаметром $2a$
 $a \rightarrow \infty$; $b = z$

$$r_n = \sqrt{(n+1)\lambda \cdot z}$$

Площа зони Фр. $S_n = \pi(r_n^2 - r_{n-1}^2) =$

Число Френеля:

$$= \pi \cdot \lambda \cdot z \neq f(n)!$$

N_F - число зон Фр., яке попадає в межі отвору
 (число відкритих зон Фр.).

Якщо покласти $r_n = a$, $n+1 = N_F$, то

$$N_F = \frac{r^2}{\lambda \cdot z}$$

Дифракційна довжина світлового променя.

Ближня та дальня зони.

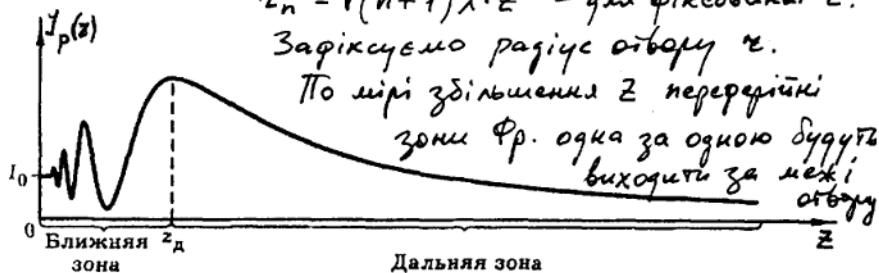
Продовжимо розгляд дифр. плоскої хвилі на кругл. отворі.
 Як змінюється інт. світла в т. P по мірі збільшення від-
 стани до екрану z :

$$r_n = \sqrt{(n+1)\lambda \cdot z} \quad \text{— для фіксованої } z.$$

Заріксуємо радіус отвору a .

По мірі збільшення z перерідіткі

зони Фр. одна за одною будуть
 виходити за межі отвору



При деякому $z = z_d$ в межах отвору залишиться
 лише одна „0” зона Фр. В цей момент інтенсивність
 світла I_p досягне \max , після чого монотонно
 почне зменшуватися по мірі збільшення z .

Для $z \ll z_d$ — ближня зона дифракції. В цій зоні:

- світл. промінь зберігає структуру, задану отвором;
- інтенс. світла в середньому приблизно дорівнює інтенс. падаючої світл. хвилі;
- в межах отвору вліщується певна кількість зон Фр.;
- поперечний переріз променя підтримується постійним (за рахунок інтерференції елементарних вторинних хвиль, які йдуть від різних зон Фр.);

Для $Z \gg Z_g$ - габитна зона габитации: Визу зоны:

- итене. дитна на ои нромекс кабарато мекша за итене. Визиткоо нромекс; че озрагат, что нромекс розширяться ?!?!

- гис тозок габитной зоны в мекша отбогу

визується Тирки растама (визитрактисей). 0⁺-зона фр.

- итнроферексис елементарных биорукных хдуе ба-
ражена елабие. Вока не може нитривуати визуг-
ний нонперекний нромекс нромекс. Тромекс етас
роздижимим!

Знакитено Z_g : $n_n = \sqrt{(n+1) \lambda \cdot z} \Rightarrow Z_g = \frac{n^2}{\lambda}$

n - рагич нромекс (рагич отбогу)

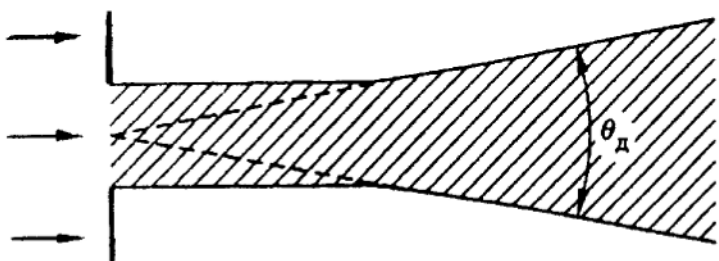
Влогум мекшо фрекис $N_F = n^2 / \lambda \cdot z$. Тогі

$$N_F = \frac{Z_g}{z}$$

В дукний зоны $N_F > 1$

В габитной зоны $N_F < 1$

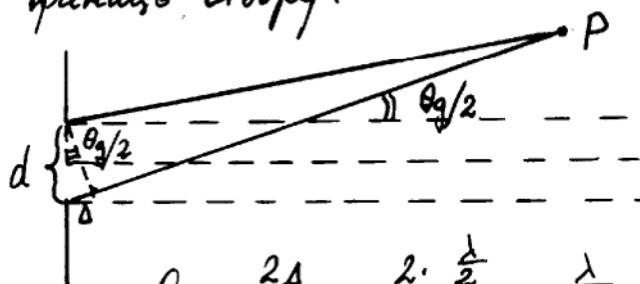
Дифракційна розбіжність променя в дальній зоні 9.



Утворюється вторинних елементарних хвиль внаслідок положення границі світлового променя.

Умова інтерф.: $\Delta = \frac{\lambda}{2}$, де Δ - різниця ходу 2-х променів, які приходять від протилежних границь отвору.

$$\Delta \approx d \cdot \sin \frac{\theta_d}{2}$$



θ_d - кут дифракційної розбіжності,

Як правило: $\theta_d \ll 1$

Тому $\Delta \approx d \cdot \frac{\theta_d}{2}$

$$\theta_d = \frac{2\Delta}{d} = \frac{2 \cdot \frac{\lambda}{2}}{d} = \frac{\lambda}{d}$$

$$\boxed{\theta_d = \frac{\lambda}{d}}$$

Діаметр променя в дальній зоні:

$$\boxed{d(z) = \frac{\lambda}{d} \cdot z}$$

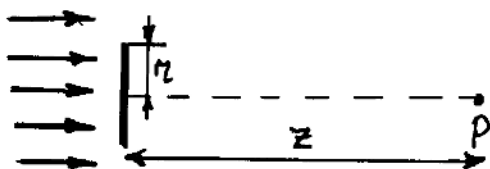
Зробимо оцінки для He-Ne лазера

$d = 2 \text{ мм}$; $\lambda = 0.63 \text{ мкм}$

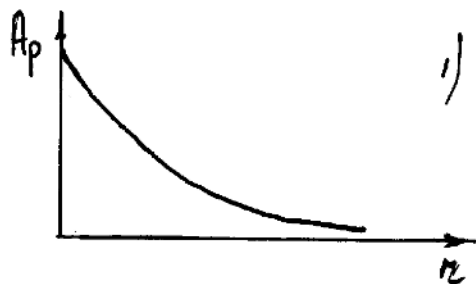
$z_g = 1.5 \text{ м}$; $\theta_d = 3 \cdot 10^{-4} \text{ рад}$.

Ці розрахунки можна легко перевірити на досліді.

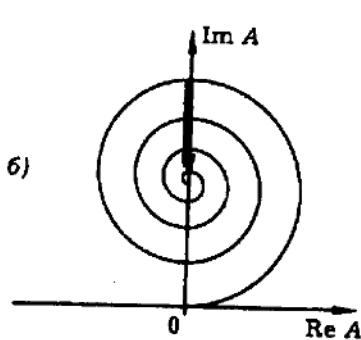
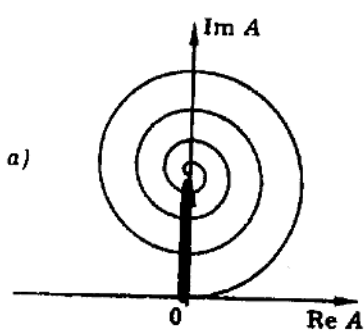
Дифракція на диску, Півня П'юасона



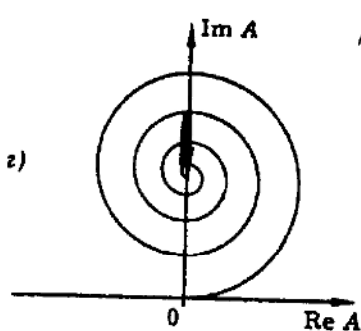
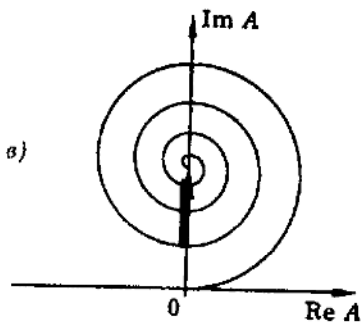
Хвиля - плоска,
монохроматична



- 1) Амплітуда світлових коливань в т. P (A_p) залежить від радіусу диску.
- 2) Навіть при великому радіусі в центрі геом. тіні інтенсивність світла $\neq 0$. Тодка П'юасона.



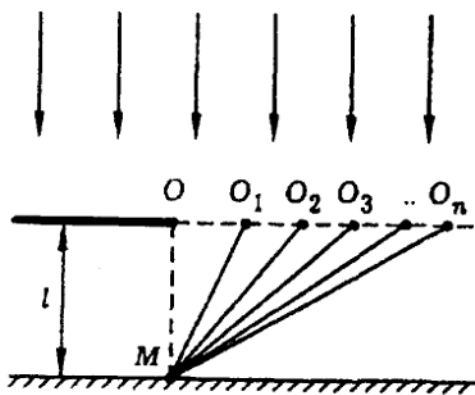
Обидві властивості витікають із зведення до сфери Фр.



$$r_n = \sqrt{(n+1) \lambda \cdot z}$$

Дифракція на краю екрана

Одна з основних задач дифракції: як відбувається перехід від світла до тіні на межі геометр. оптики та хвильової оптики. Скористаємось методом зон Френеля (у випадку циліндричної хвилі - зон Шустера).



Введемо зони Фр. для т. М, яка лежить на екрані тогочасно під його краєм (межею). Зони Фр. -

плоскі смуги, паралельні краю екрана. Межі зон Фр. - $O_1, O_2, O_3 \dots O_n$

$$\begin{cases} OM = l \\ O_1M = l + \frac{\lambda}{2} \\ O_2M = O_1M + \frac{\lambda}{2} = \\ \dots \\ = l + 2 \frac{\lambda}{2}; \end{cases}$$

Позначимо через d_n відстань від краю екрана до початку зони Фр. з номером n

$$d_n^2 = OO_n^2 = \left(l + n \frac{\lambda}{2}\right)^2 - l^2 =$$

$$= n l \lambda + \left(n \frac{\lambda}{2}\right)^2$$

$l \gg \lambda$; можна знехтувати членами $\sim \lambda^2$. Тоді

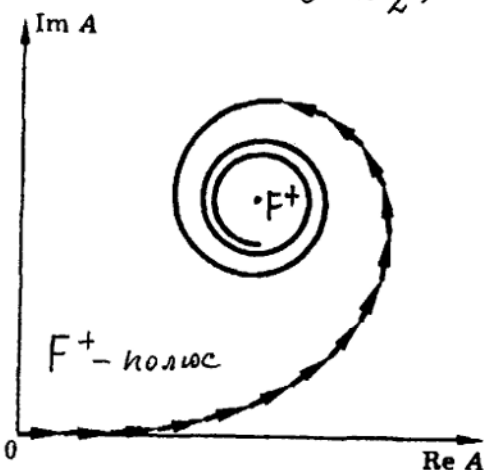
$$d_n = \sqrt{n \cdot l \cdot \lambda}$$

Площа n -ої зони Фр.

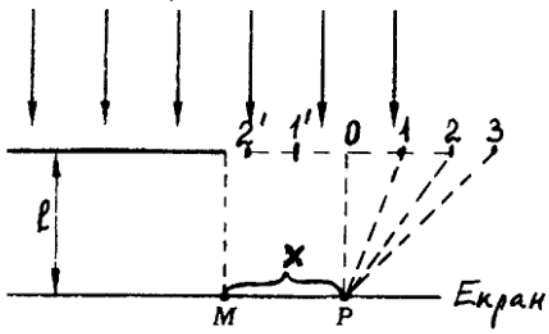
$$S_n = (d_{n+1} - d_n) \cdot L$$

де L - довжина екрану

$$S_n = (\sqrt{n+1} - \sqrt{n}) \cdot L \cdot \sqrt{\lambda l} = \frac{L \cdot \sqrt{\lambda \cdot l}}{\sqrt{n+1} + \sqrt{n}} \approx \frac{L}{2} \sqrt{\frac{\lambda \cdot l}{n}} \Rightarrow$$



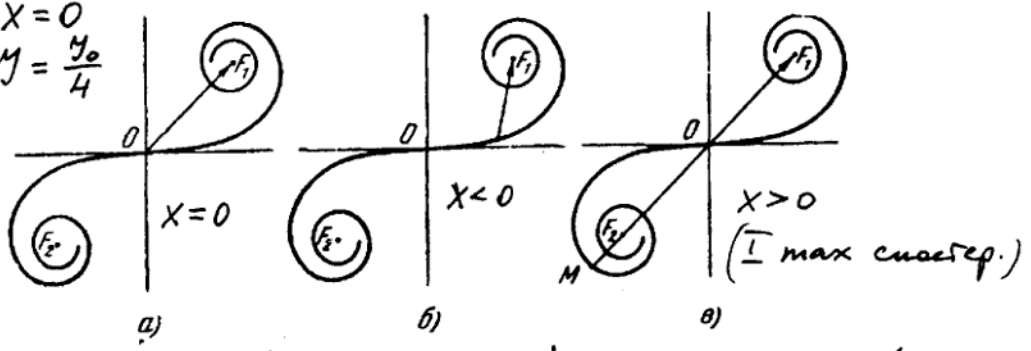
Як користуватись спіраллю Корню:



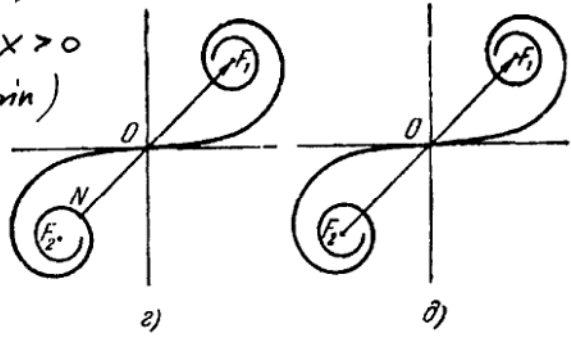
Зони з комерами m та m' мають однакову ширину. Коливання від нештрихованих зон описуються правилом завитком спіралі. За коливання від штрихованих зон відповідає лівий завиток спіралі Корню.

1. Якщо $T. P$ лежить на межі геом. тіні, то коливання від нештрихованих зон (штриховані зони закриті) дають результ. вектор, початок якого - в т. O , а кінець - в т. F_1 (рис. а): $U = \left(\frac{1}{2} E_0\right)^2 = \frac{1}{4} U_0$

$X = 0$
 $U = \frac{U_0}{4}$

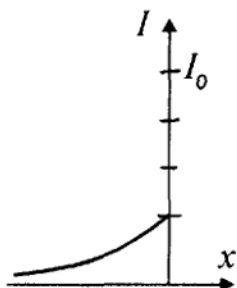


$X > 0$
 $(I \text{ min})$



повністю відкриті всі зони (екрану немає).

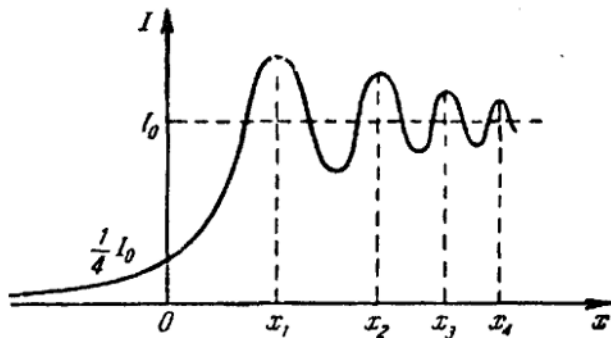
$U = U_0 = A_0^2$



2) При зміщенні т.Р в обл. геом. тіні ($x < 0$, рис.б) на-півплощина почне закривати все більше нешт-рих. зон. Тому початок результуючого вектора з т.О почне переміщуватись по правому завитку, наближаючись до полюсу F_1 . В результаті амплітуда монотонно прямує до нуля (див. рис).

3) Для $x > 0$: т.Р зміщується від границі геом.тінні вправо. Додатково до нешт-рих. зон додаються (відкриваються) весь час зростаюче число шт-рих. зон. Початок результуючого вектора скочує по лівому завитку спіралі в напрямку полюсу F_2 . В результаті амплітуда проходить через ряд максимумів. Перший з них відповідає довжині відрізка MF_1 (рис. в). Перший мінімум дорівнює довжині відрізка NF_1 (рис. з). При повністю відкритій хвильовій поверхні амплітуда хвилі в точці спостереження дорівнює відріжку $F_2 F_1$ (рис. д). В останньому випадку амплітуда в 2 рази більша за амплітуду на межі тіні (інтенсивність в 4 рази більша).

В результаті отримуємо залежність $I(x)$, яка показана на рис.



Правий завиток спіралі відповідає зонам, розташованим справа від т.О. лівий – зліва від т.О.

Кожній точці спіралі Корню відповідає параметр v :

$$v = x \cdot \sqrt{\frac{2}{\lambda \cdot L}}$$

Цей параметр пропорційний довжині дуги спіралі, яка починається з т.О. Значення параметра v вказане на спіралі.

Приклад: Дано: $L=100$ см; $\lambda=500$ нм; I_0 - інтенсивність падаючого світла.

Знайти відстань Δx між першими двома максимумами на екрані та інтенсивність першого максимуму.

Враховуючи, що $x = \sigma \sqrt{\frac{\lambda \cdot L}{2}}$, маємо

$$\Delta x = x_2 - x_1 = (\sigma_2 - \sigma_1) \cdot \sqrt{\lambda \cdot L / 2}$$

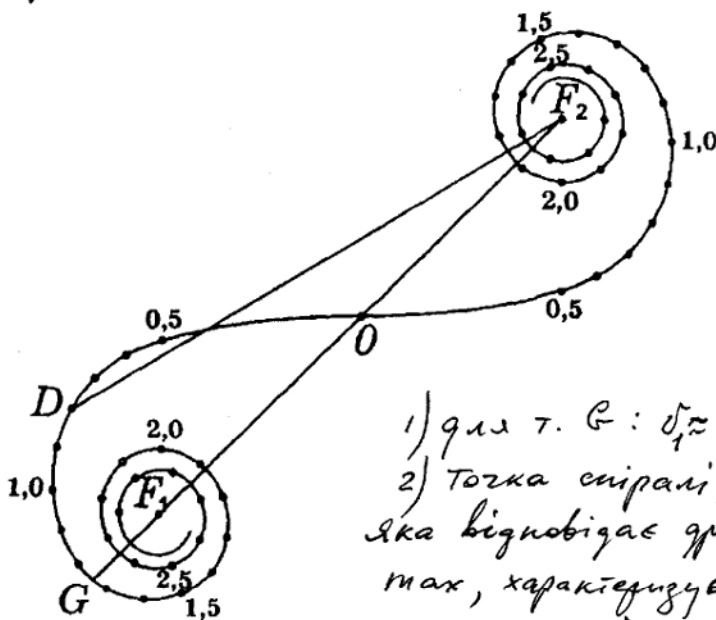
По графіку із спіраллю Корню знаходимо, що $\sigma_2 = 2.35$; $\sigma_1 = 1.25$ для 2-х перших максимумів.

$$\Delta x = (2.35 - 1.25) \cdot \sqrt{\frac{500 \cdot 10^{-9} \cdot 1}{2}} = 5.5 \cdot 10^{-4} \text{ м} = 0.55 \text{ мкм}$$

За допомогою графіка і лінійки знаходимо, що відношення амплітуди 1-го тах (тобто відстань між точками $G F_2$) до амплітуди кожного світла (довжина $F_2 F_1$)

$$\eta = \frac{G F_2}{F_2 F_1} = \frac{94}{80} \approx 1.17$$

Тобто $y_1 = \eta^2 y_0 = 1.37 y_0$



- 1) для т. G: $\sigma \approx 1.25$
- 2) Точка спіралі, яка відповідає другому тах, характеризується значенням $\sigma_2 \approx 2.35$